
Travail de Fin d'Etudes : Development of a compressible flow solver for PFEM fluid simulations

Auteur : Février, Simon

Promoteur(s) : Ponthot, Jean-Philippe; Boman, Romain

Faculté : Faculté des Sciences appliquées

Diplôme : Master en ingénieur civil physicien, à finalité approfondie

Année académique : 2019-2020

URI/URL : <http://hdl.handle.net/2268.2/9010>

Avertissement à l'attention des usagers :

Tous les documents placés en accès ouvert sur le site le site MatheO sont protégés par le droit d'auteur. Conformément aux principes énoncés par la "Budapest Open Access Initiative"(BOAI, 2002), l'utilisateur du site peut lire, télécharger, copier, transmettre, imprimer, chercher ou faire un lien vers le texte intégral de ces documents, les disséquer pour les indexer, s'en servir de données pour un logiciel, ou s'en servir à toute autre fin légale (ou prévue par la réglementation relative au droit d'auteur). Toute utilisation du document à des fins commerciales est strictement interdite.

Par ailleurs, l'utilisateur s'engage à respecter les droits moraux de l'auteur, principalement le droit à l'intégrité de l'oeuvre et le droit de paternité et ce dans toute utilisation que l'utilisateur entreprend. Ainsi, à titre d'exemple, lorsqu'il reproduira un document par extrait ou dans son intégralité, l'utilisateur citera de manière complète les sources telles que mentionnées ci-dessus. Toute utilisation non explicitement autorisée ci-avant (telle que par exemple, la modification du document ou son résumé) nécessite l'autorisation préalable et expresse des auteurs ou de leurs ayants droit.



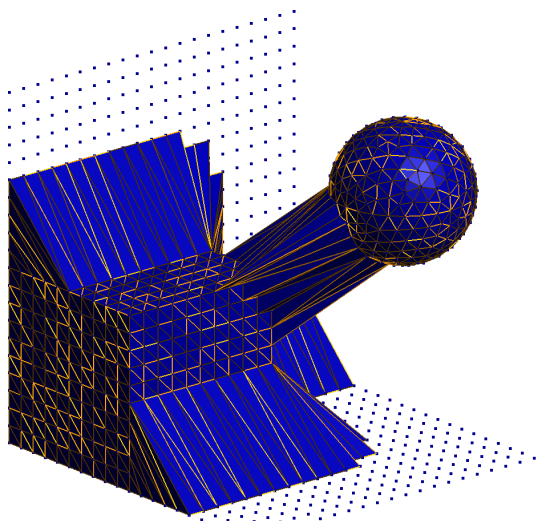
ATFE9007-1 - FINAL THESIS
(INCLUDED AN INTRODUCTION TO RESEARCH METHODOLOGY)

Development of a 3D compressible flow solver for PFEM fluid simulations

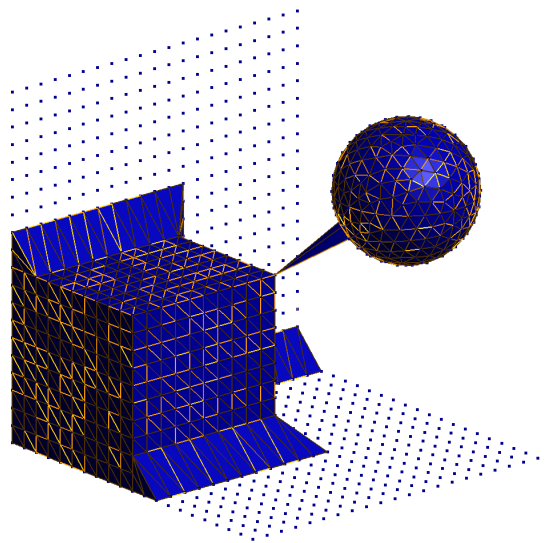
Master of Science (MSc) in Engineering Physics

Supervisors: Jean-Philippe Ponthot, Romain Boman

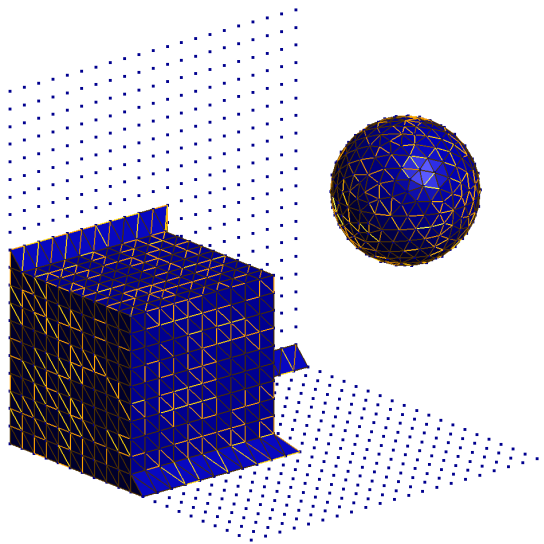
A solver using the Particle Finite Element Method (PFEM) for incompressible and weakly-compressible Navier–Stokes equations is developed in order to simulate quasi incompressible 3D flows. The equations describing these types of flows are recalled in their analytical form. The PFEM method and the discretized version of the equations are described in 3D, using an implicit scheme for the incompressible equations and an explicit scheme for the compressible ones. The problem of 3D triangulation and alpha shape algorithm is solved by using the Computational Geometry Algorithms Library (CGAL). The results are compared to the solver developed during the PhD thesis of M.-L. Cerquaglia as well as analytical results when available. The solver, although able to simulate flows with fluids near incompressibility quite well, seems to have more difficulties simulating fluids which are too compressible.



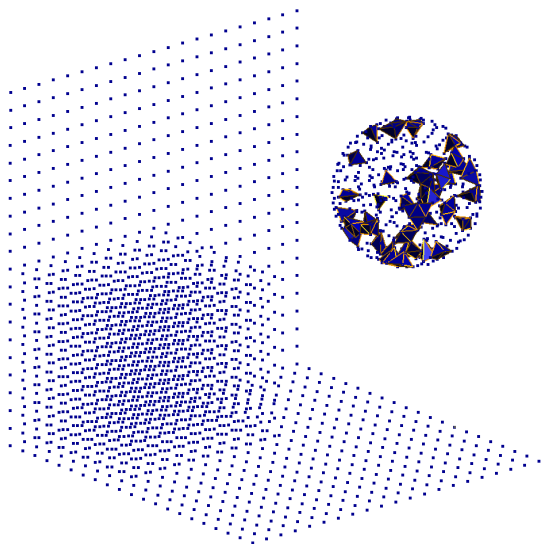
(a) $\alpha = 5$.



(b) $\alpha = 2.5$.

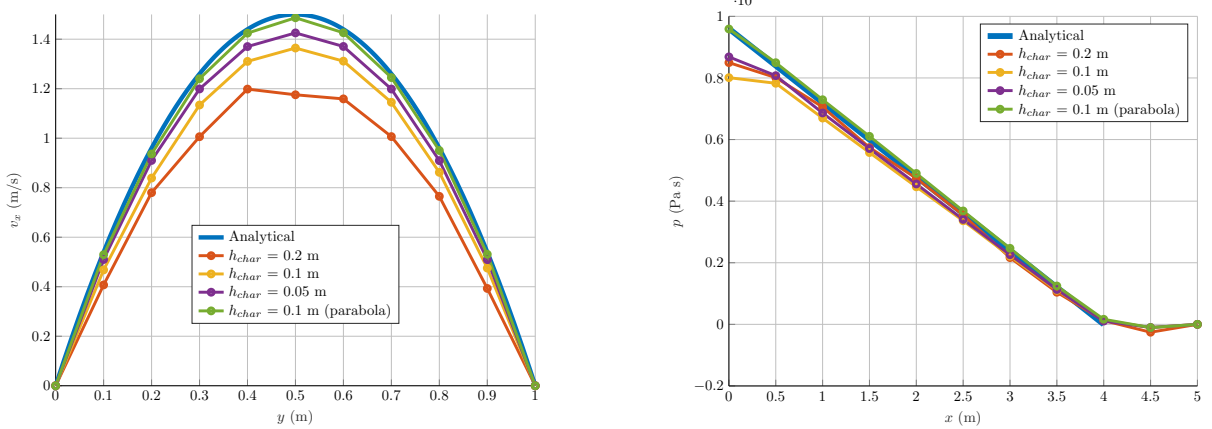


(c) $\alpha = 1.25$.



(d) $\alpha = 0.625$.

Figure 1: Alpha-shape algorithm results on a Delaunay triangulation for various $\alpha_{C,M}$ values using CGAL in 3D ($h_{char} = 1$ unit of length).



(a) Horizontal velocity profile along $x = 3$ m.

(b) Pressure profile along $y = 0.5$ m.

Figure 2: Simulation results for a flow between two plates of four metres long separated by 1 metre, with a uniform horizontal velocity flow of 1 m/s at the left entrance of the plates. Results at $t = 4$ s.

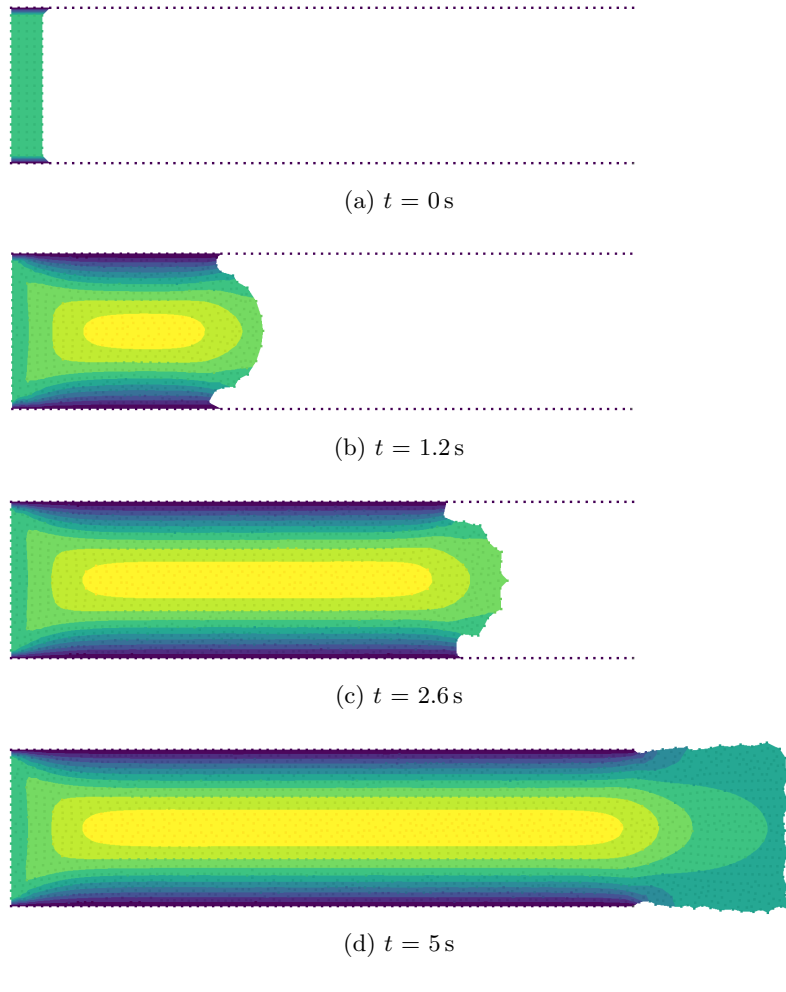
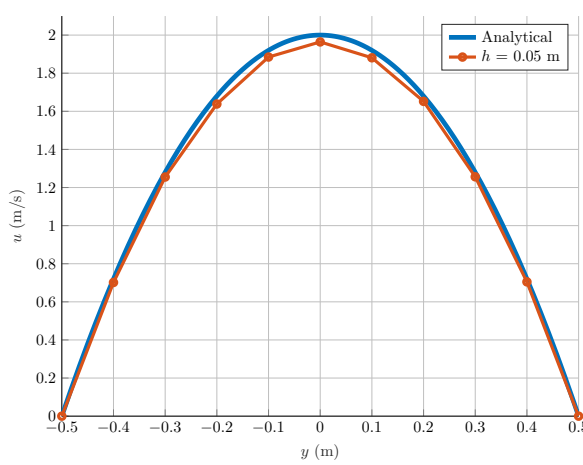
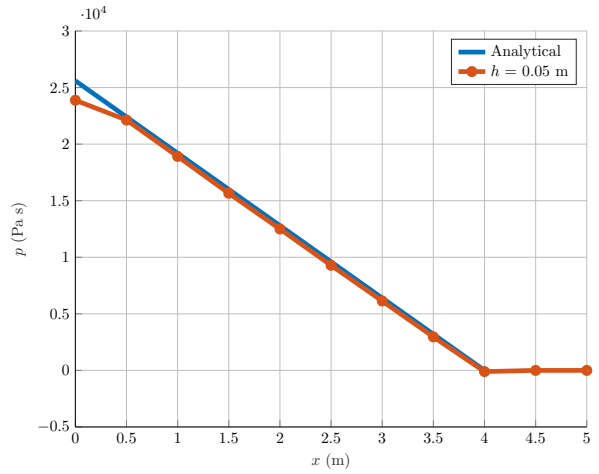


Figure 3: Horizontal component of the velocity at different times for a flow between two plates of four metres long separated by 1 metre, with a uniform horizontal velocity flow of 1 m/s at the left entrance of the plates. Element characteristic size of 0.05 m.

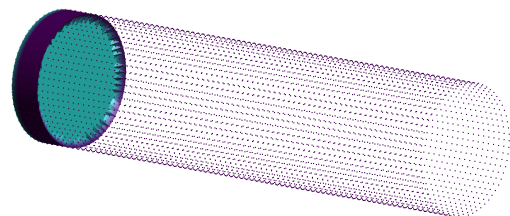


(a) Horizontal component of the velocity as a function of y at $x = 3$ m.

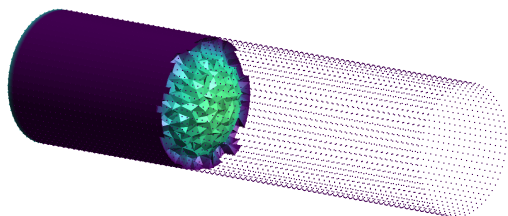


(b) Pressure along the pipe center.

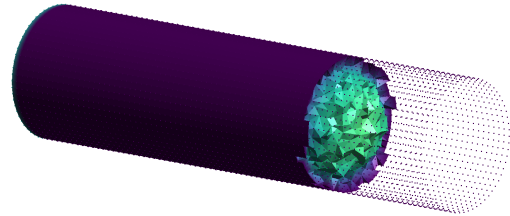
Figure 4: Simulation results for a flow inside of pipe four metres long with a one metre diameter with a uniform entrance velocity of 1m/s. Results at $t = 2.7$ seconds.



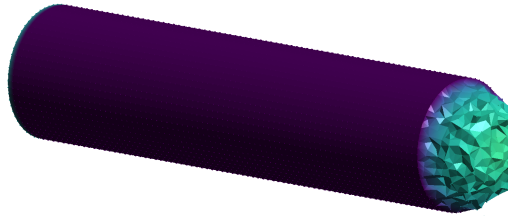
(a) $t = 0$ s



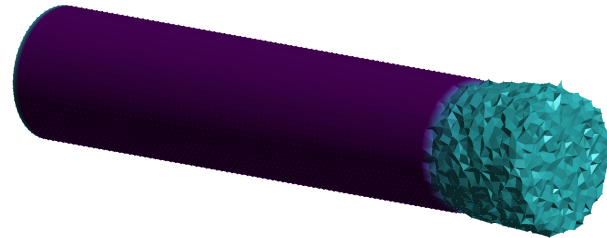
(b) $t = 1$ s



(c) $t = 2$ s



(d) $t = 3$ s

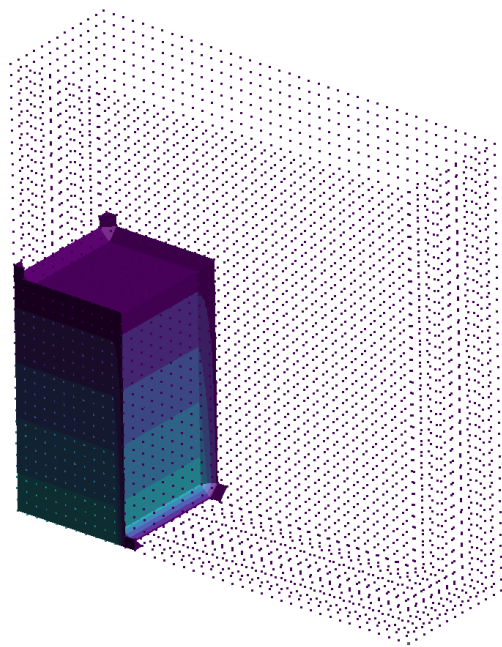


(e) $t = 4$ s

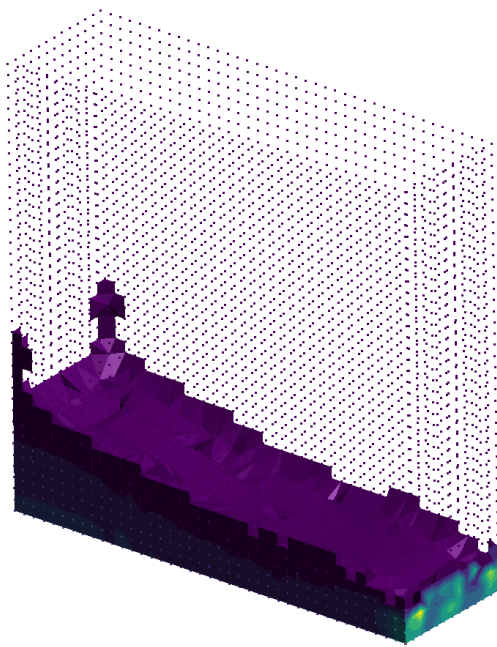
u [m s^{-1}]



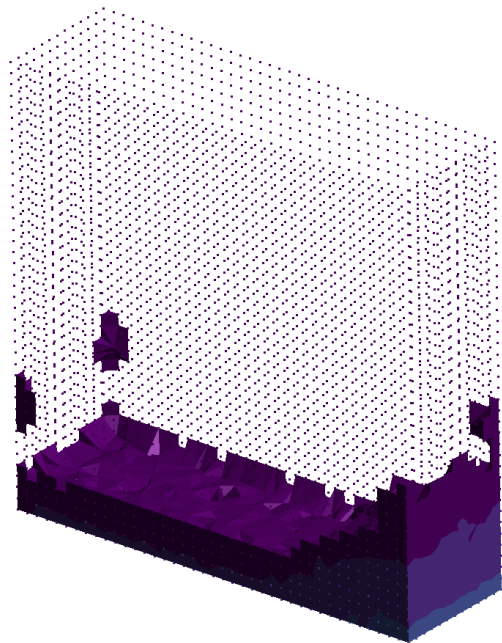
Figure 5: Simulation results for a flow inside of pipe four metres long with a one metre diameter with a uniform entrance velocity of 1m/s. Element characteristic size $h_{char} = 0.05$ m.



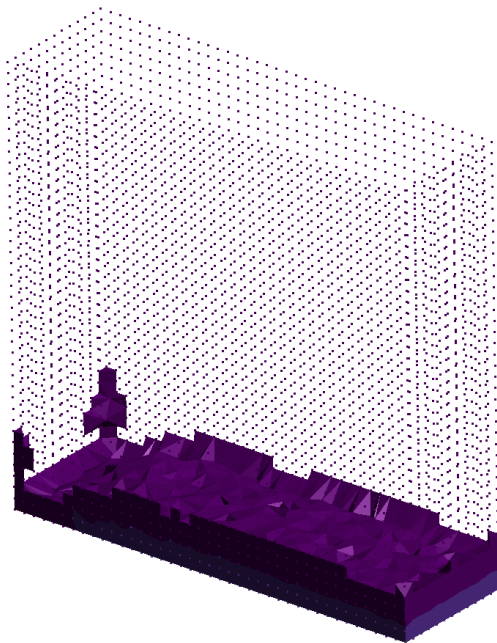
(a) $t = 0\text{ s}$



(b) $t = 0.3\text{ s}$



(c) $t = 0.65\text{ s}$



(d) $t = 1\text{ s}$

$p [\text{Pa}]$

451

6.62×10^3

Figure 6: Pressure at multiple time stations for a parallelepiped of fluid of dimension $(0.146\text{ m}, 0.175\text{ m}, 0.292\text{ m})$ initially at rest, in a box of dimensions $(0.584\text{ m}, 0.175\text{ m}, 0.584\text{ m})$.